

琉球大学農学部 正 新城 俊也

## 1はじめに

一次元圧密容器を利用して $K_0$ 値を測定する方法に、圧密リングの側方変位を打ち消すように側方応力を制御する方式と、リング壁面にストレーンゲージを貼り壁面の変位を利用して側方応力を測定する方式がある。後者的方式により側方応力の測定応力レベルの異なる数種類のリングを用いて広範な応力下での砂の $K_0$ 値とそれに及ぼす粒子破碎の影響を調べた<sup>1)</sup>。しかしながら、リングによって測定結果に差がみられ、リング壁面の剛性が $K_0$ 値に大きく影響することが明らかになった<sup>2,3)</sup>。今回は、剛性が大きく測定結果への影響の少ない圧密リングを用いて、破碎性の卓越する砂を含む4種類の砂について一次元圧縮試験を実施し、 $K_0$ 値に及ぼす粒子破碎の影響および $K_0$ 条件下的力学挙動を調べた。

## 2実験方法

$K_0$ 値測定装置は載荷盤、圧密リング、底盤からなる。圧密リングは内径60mm、高さ25mmであり、リングの一部を薄く加工し外側表面にストレーンゲージを貼り、壁面の変位を利用して側方応力を測定できる。リング内壁に水圧を作らせキャリブレーションを行っており、側方応力180kgf/cm<sup>2</sup>まで測定可能である。リングは上端部を拡幅し、上端部を支持台に固定し、下端を自由な状態でセットした。また、底盤の下方にロードセルを設置し、リング壁面摩擦の影響を考慮した。

試料は豊浦標準砂、石灰質砂2種類(チービシ、ドッグスベイ)、シラスである。実験には2mmふるい通過試料を用いた。粒度分布と物理的性質を図1と表1に示す。

供試体は一定の高さから空中落下法で作成した。実験は、それぞれの試料について、上載圧力を5、10、15、20、30kgf/cm<sup>2</sup>の5段階に変化させて、載荷一除荷試験を行った。なお、供試体内の鉛直応力 $\sigma_V$ は便宜的に供試体上下面の応力の平均値で示した。試験終了後、ふるい分け試験を行い、粒子破碎の程度を調べた。

表1 物理的性質

試料	比重	$e_{\max}$	$e_{\min}$
標準砂	2.65	0.99	0.61
チービシ	2.77	1.53	0.98
ドッグスベイ	2.75	2.37	1.58
シラス	2.40	1.56	0.81

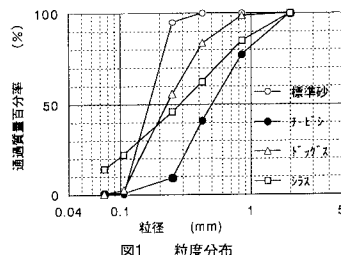
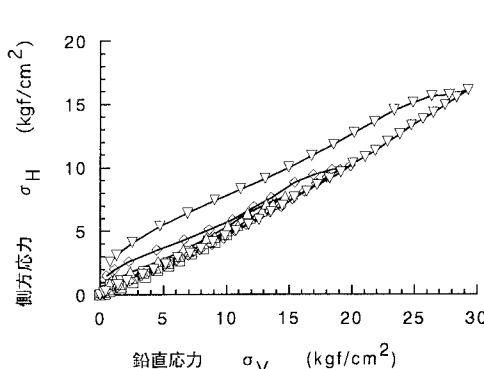
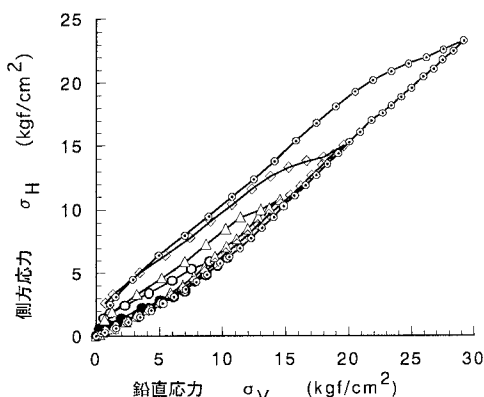


図1 粒度分布

図2  $\sigma_H - \sigma_V$ 関係(標準砂)図3  $\sigma_H - \sigma_V$ 関係(ドッグスベイ)

### 3 実験結果および考察

例として豊浦標準砂とドッグスペイ砂の結果を側方応力 $\sigma_H$ と鉛直応力 $\sigma_V$ の関係で図2と図3に示す。ドッグスペイ砂は豊浦標準砂に比べて粒子破碎性が顕著である。載荷過程における載荷ごとの $\sigma_H-\sigma_V$ 関係はほぼ一致しており、試験の再現性は良好のようである。豊浦標準砂の $\sigma_H-\sigma_V$ 関係は直線関係にあって、載荷過程の $K_0$ (= $\sigma_H/\sigma_V$ )は一定の値としてこの直線の傾きからもとめられる。一方、ドッグスペイ砂の $\sigma_H-\sigma_V$ 関係は載荷の初期段階で直線関係にあって一定の $K_0$ 値をとるが、鉛直応力の増加に伴ってその傾きは増大し、 $K_0$ 値はその値より大きな $K'_0$ (= $\Delta \sigma_H/\Delta \sigma_V$ )を示している。

図4は上載圧力20kgf/cm<sup>2</sup>の場合のそれぞれの砂の載荷過程の $\sigma_H-\sigma_V$ 関係を比較したものである。豊浦標準砂では $K_0$ 値は0.43で一定である。一方、チービシ砂では $\sigma_V=12\text{kgf/cm}^2$ を境に $K_0=0.46$ から $K'_0=0.62$ に、ドッグスペイ砂では $\sigma_V=7\text{kgf/cm}^2$ を境に $K_0=0.53$ から $K'_0=0.88$ に、シラスでは $\sigma_V=9\text{kgf/cm}^2$ を境に $K_0=0.46$ から $K'_0=0.62$ に、それぞれ増大している。豊浦標準砂では粒度変化はほとんどにられないが、ドッグスペイ砂では図5に示すように、上載圧力10kgf/cm<sup>2</sup>以上では上載圧力の増加とともに細粒分が増加しており、粒子破碎の発生する応力を境に $K_0$ 値が増大することが分かる。

図6はそれぞれの砂の $K_0$ 条件下での圧縮時の力学挙動を軸差応力 $q$ と平均主応力 $p$ の関係で上載圧力30kgf/cm<sup>2</sup>の場合に比較したものである。ここに、 $q=\sigma_V/\sigma_H$ 、 $p=(\sigma_V+2\sigma_H)/3$ 。載荷過程の応力経路は豊浦標準砂では線形関係にあるが、他の砂では $K_0$ 値の増加する応力レベルに対応して圧縮初期の線形から非線形に移行している。特に、この傾向はドッグスペイ砂で著しく、粒子破碎に伴ってせん断抵抗の低下(劣化)が生じている。

### 4 まとめ

比較的剛性の大きい圧密リングを用いて砂の $K_0$ 値測定を行い、粒子破碎に伴って $K_0$ 値が増加することを明らかにした。

実験に協力頂いた高江洲達君(株式会社沖技)に謝意を表する。

### 参考文献

- 新城他：粒子破碎を伴う応力域での石灰質砂の $K_0$ 値特性、土木学会第49回年次講演会(III)、pp.450-451、1994。
- 2)新城：一次元圧密容器による $K_0$ 値の決定、土木学会西部支部研究発表会、pp.514-515、1995。
- 3)新城：一次元圧密容器による砂の $K_0$ 値測定について、第30回土質工学研究発表会(投稿中)、1995。

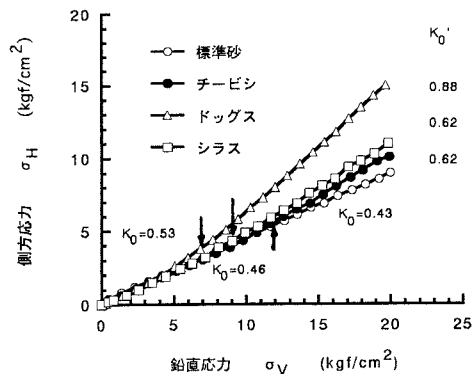
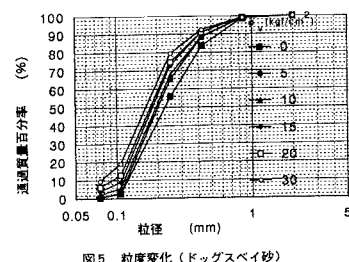
図4  $\sigma_H-\sigma_V$ 関係の比較

図5 粒度変化(ドッグスペイ砂)

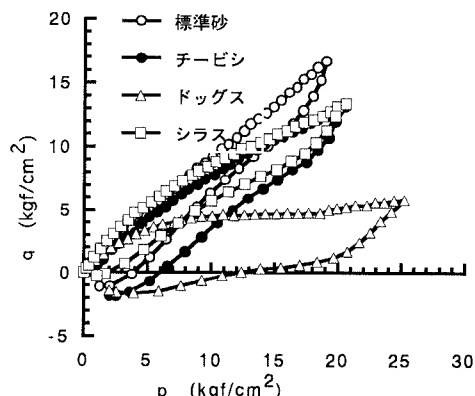


図6 応力経路